

住区における道路網パターンについて

京都大学工学部 正員 植原和彦
京都大学工学部 学生員 ○植村幸王

1. まえがき 道路網計画は土地利用計画、施設配置計画と相まって、人間の生活を規定するものであり、ニュータウン計画における最大の主眼点の一つである。そしてこの道路網計画には多様な達成目標が要請されている。つまり道路交通機能向上と居住環境の保全という、たゞ一貫的でない要求を中心におかず多くの要求を満すことである。そこで本研究では道路網構成が道路機能や居住環境に及ぼす影響を探り、道路計画の情報とするために、既存24ニュータウンの上位道路網の分類と比較、および既存9ニュータウンの上位道路網と10アースのモデル的下位道路網に関する定量的評価を行い、道路網について分析考察する。

2. 既存ニュータウン上位道路網のパターン分類

2-1 道路の段階構成と段階毎のパターン 道路の機能的段階構成を表21のように、まず上位道路網と下位道路網に大別し、さらにブキャナンレポートに基づき前者を主要、地区西分散路に後者を局地分散路、出入路に区分した。以上4段階の道路について、都市の骨骼を形成する主要分散路は、全体パターンを図式的に捉え4種類に分類し、他の道路は各道路網を構成する基本パターン、交通形態で分類した。これを図21、表22に整理する。

2-2 既存ニュータウンの分類 上位道路網パターンと都市間幹線道路との接続形態で分類する。そこで、表23の既存24ニュータウンについて、主要分散路は外周環状の有無で二分し、さらに前記のパターンで分類する。地区分散路は前記の基本パターンで分類する。接続形態は一点接続型、多点接続型、地区内貫通型に分類する。これを表23に整理する。

表21 道路の段階構成

道路	石	道路の性格	種類
上位道路網	既存公共交通が主導	都市の骨骼	
主要分散路	都市の骨骼を形成	○格子型	
地区分散路	地区的交通を主導	△梯子型	
下位道路網	既存公共交通の骨格	○環状型	
地区分散路	上位道路網からの派生	△枝葉型	
出入路	既存公共交通へ接続	○枝葉型	

図2-1 パターン

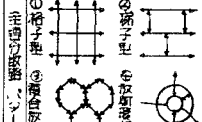


表22 パターン

主要分散路	既存公共交通	道路網	接続形態
○格子型	○枝葉型	G	GT
△梯子型	△枝葉型	T	TL
○環状型	△枝葉型	C	R
△枝葉型	○枝葉型	○	CL
○枝葉型	△枝葉型	L	GTCL
△枝葉型	△枝葉型	○	GT
○枝葉型	△枝葉型	○	CL
△枝葉型	△枝葉型	○	TR
○枝葉型	△枝葉型	○	TC
△枝葉型	△枝葉型	○	CR
○枝葉型	△枝葉型	○	LR

表22 パターン



表23 ニュータウンの分類

主要分散路	既存公共交通	道路網	接続形態
○格子型	○枝葉型	G	GT
△梯子型	△枝葉型	T	TL
○環状型	△枝葉型	C	R
△枝葉型	○枝葉型	○	CL
○枝葉型	△枝葉型	L	GTCL
△枝葉型	△枝葉型	○	GT
○枝葉型	△枝葉型	○	CL
△枝葉型	△枝葉型	○	TR
○枝葉型	△枝葉型	○	TC
△枝葉型	△枝葉型	○	CR
○枝葉型	△枝葉型	○	LR

表23 ニュータウンの分類

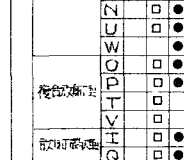


表23 ニュータウン パターン

既存ニュータウン	面積 (ha)	人口 (人)	都市	道路密度 (km/km²)	ワード面積 (km²)	面積 (km²)	距離 (km)
A 干里	1150	1904	住吉	27.8	33.2	7.8	205 102
B 東北	1520	2307	-	35.3	4.9	2.9	196 105
C 千原	610	230	-	42.6	36.8	11.7	208 105
D 高蔵寺	250	1024	-	42.7	35.9	35.7	64 284 104
E 成田	487	1232	-	37.1	15.4	22.1	11.6 148 107
F 海舟	1272	1987	-	32.1	269	30.1	90 201 112
G ブラバム	800	1250	-	44.1	-	93.6	- 339 -
H イスラマジ	2000	250	袖ヶ浦	17.3	18.9	58.9	18.2 251 134
I クワウル	2440	205	-	14.1	14.5	66.5	14.7 276 128
J ハルハル	2370	251	-	13.9	13.9	122.1	11.0 421 166
K ハーフ	2540	354	-	3.0	12.4	32.5	13.3 443 147
L ハーフ	1850	355	-	15.9	21.2	21.1	11.0 320 115
M ハーフ	4750	350	-	15.8	11.7	35.6	4.4 245 126
N ハーフ	5127	34.3	-	8.0	13.6	22.1	19.1 728 163
O プラスクレ	1350	45.9	-	8.2	3.7	39.8	14.2 353 197
P ニューハーフ	351	57.0	-	9.0	26.1	17.4	11.2.6 511 126
Q ニューハーフ	1030	30.0	-	11.1	1.9	22.5	9.4 430 144
R ワン	2140	374	-	10.0	17.8	17.7	30.1 533 200
S ワン	1600	3.3	-	13.8	4.9	6.4	23.2 90.0 170
T ユーピー	1000	40.0	-	16.7	2.2	59.2	2.1 339 121
U レッド	2880	31.3	-	12.3	18.2	23.3	21.7 345 143
V レッド	1420	63.9	-	2.5	14.7	36.8	31.6 52.2 112
W クラシック	620	46.7	-	13.3	8.4	45.4	25.4 52.5 163
X ハーフ	3027	33.3	-	1.0	21.5	46.6	15.3 48.6 119

表23 ニュータウン パターン

(注)既存はニュータウン、GT-LRは既存パターン

(注)Xは既存、Yはランダム路筋で表わすものとする。

3. 既存ニュータウン上位道路網の数量的比較 道路網を定量的に比較するため、表3-1に示す指標を設定し、これに基づき、既存24ニュータウンの主要、地区西分散路について調

算を行な表3.2に整理する。この試算結果について次に考察を述べる。

(1) 道路密度 主要分散路の道路密度は都市の性格と密接な関係を持つことを示している。

住宅都市の日本のニュータウンとGが高密度の上位を占め、独立都市的性格の強い英國のニュータウンは広いオープンスペースのためであろうが、低密度である。

(2) ハービス面積：西分散路ヒタは日本のニュータウンが小面積の上位を占める、分散路からのサービスが行き届く反面騒音や振動による環境破壊が懸念される。

(3) 離隔距離：日本のニュータウンが上位を占める。英國のニュータウンの自動車利便性への重視がうかがえる。

第3.1 評価項目	
① 道路密度	全道路面積を全面積で割ったもの D= L/S
② ハービス面積	よりじて面積の二交差角を区分するため道路を構成したときこれらがハービス面積の比率 S=ハービス面積/L
③ 離隔距離	上記1単位道路のサービスエリア内平均の点角からその道路までの距離の平均値 D=離隔距離/N
④ 駐停率	駐停率測定地帯の数 N=駐停率測定地帯の総数

4 評価ニュータウンに位置道路網の数量的評価・代表的的道路網パターンを示す、既存9ニュータウンの上位道路網について、数量的評価を行い考察を加える。

4-1 評価項目 表4.1に示すように、五つの評価項目について、数量化の容易な評価指標を設定し、表4.2に定めた仮定のもとに試算を行い、その結果を表4.3 図4.1に整理する。

(1) 自動車利便性、自動車快適性、アクセス時間が長いGとOのうち、Gは外周道路への迂回が、Oは環状部での迂回と接続形態が、Oはリソース状況がそれぞれ原因と考えられる。運転困難はアクセス時間とほぼ比例的に増大し、順位もほぼ同一となる。

(2) 自動車安全性 車両率の高い丁字路、多枝交差点を専用しているEが悪い値を示し、逆に、道路密度が低く三枝交差、ループ状況を専用するGとWが良い値を示している。

(3) 居住者快適性 Gが最も悪い値を示すが、外周環状道路部への迂回交通が影響している。一方 良い値を示すS,Wはアクセス距離が短い事が影響していると考えられる。しかし、全般に値の変動は小さいと言える。

表4.1 評価指標モデル

評価項目	評価基準	評価指標	評価指標モデル
自動車利便性	アクセス比率、アルビス率	T = $\frac{A}{C} \cdot T$	T = $\frac{A}{C} \cdot A$
自動車安全性	回転角度	D = $\frac{A}{B} \cdot C \cdot R \cdot B$	D = $E \cdot C \cdot A$
自動車交通量	交通量比	A = $C \cdot K_a + C_2 \cdot K_b$	A = $C \cdot K_a + C_2 \cdot K_b$
歩行者	交通事故率	K = $E \cdot P_c \cdot E_{\text{歩}}^{\text{歩}}$	K = P
交通安全	交通事故率	L = $E \cdot L_c / S_{\text{歩}}$	L = $E \cdot L_c / S_{\text{歩}}$
石垣音	石垣車速音響	M = $20 \log_{10}(V + C)$	M = $20 \log_{10}(V + C)$

C. 通過のカーブ曲率(度/曲)

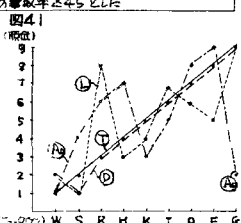
A. ニュータウン面積(100ha) Lu: 駐停の必要なこの面積面積
R: 総路地の面積中の右半分面積 L: 左半分面積 R: 右半分面積
曲率 C: 4度曲率曲率 C: 3度曲率曲率 V: 交通事故率(4段以上)
P: 歩行者走行距離(1km) N: 歩行者数(1km/h)
D: 横断歩道距離(Sec) P: 全歩行者数(ニュータウン) L: 歩行者の歩行距離(歩数/時)
N: 右の距離での平均歩数(歩/時)
L: 歩行者の歩数/秒 S: 歩数

表4.2 評価に供した項目

1. 自動車の性能					
オーバースペースを除いた純サービス面積の面積にから 3名/人のかークツアが乗車する					
D: 1.0km/h 運転距離と車両回転率の面積との積をこの距離を走行した場合の距離とする					
2. 速度低下率					
上記通り主要分野距離 60km/h 地区分野距離 40km/h で走行する					
3. 信号機の割合					
一律この割合を用いる					
4. 駐停場所の割合					
次章などの曲率の距離を考慮して車両の走行 右左の車両の走行の左右差					
右折 4. 左折 1. 通過 0とした					
5. 交通事故率					
三枝交差及び多枝交差の事故率を45とした					

表4.3 評価指標値

評価	ニュータウン名	アクセス率	面積回転率	面積回転率	総合評価	(順位)
G	成田	307.1	4.8	1006	54.18+C	9
G	ウツラスル江戸川	463.5	6.7	133	59.66+C	8
H	ズボンゾジ	155.8	2.1	266	53.26+C	7
I	イグロワー	201.6	2.6	205	57.31+C	6
K	ハーロク	181.5	2.5	162	55.03+C	5
O	ブランコモレ	229.9	3.6	226	54.33+C	4
R	アラシトニ	1.9.8	1.9	23	58.46+C	3
S	ズケルヌズデ	18.2	1.3	182	51.90+C	2
W	カンバーハード	113.5	1.4	107	52.44+C	1



5 下位道路網モデルによる各種パターンの数量的評価 人間生活と最も密接した、下位道路網に関する従来の住宅地を専用されている格子状道路網と他のパターンについてモデル的プランを作成し、各々を数量的に評価分析したが、その結果は講演時に示す。

6 むすび ニュータウンの道路網に関する考察によると、内外のニュータウン計画に対する理念や志向性の共通点、相違点を認識し、下位道路網パターンの機能や居住環境に対する影響力をある程度、確認したと思う。しかし、上位、下位道路網の評価ご整合性をいくまでもある点など、今後、改良すべき余地があると考える。